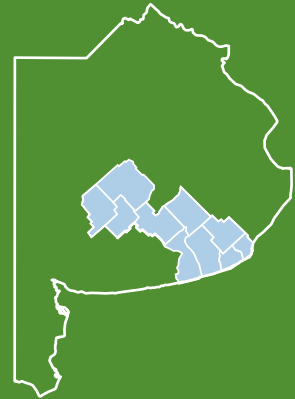


ENERO 2026

Informe mensual agropecuario

INTA Balcarce y su área de influencia



Instituto Nacional de
Tecnología Agropecuaria
Argentina

Estación Experimental
Agropecuaria
Balcarce

CONICET



I P A D S

INTA
Ediciones 

CLI
MA

2

PRO
NOS
TICO
15 DÍAS

3

PRO
NOS
TICO
TRIMESTRAL

4

CON
SUMO
DE
AGUA

5

AGUA
ÚTIL

6

ÍNDICE
VERDE

7

AGRI
CUL
TURA
SOJA

8

AGRI
CUL
TURA
MAÍZ

9

AGRI
CUL
TURA
GIRASOL

10

AGRI
CUL
TURA
SANIDAD

11

GANA
DERIA
PASTIZALES
PASTURAS

12

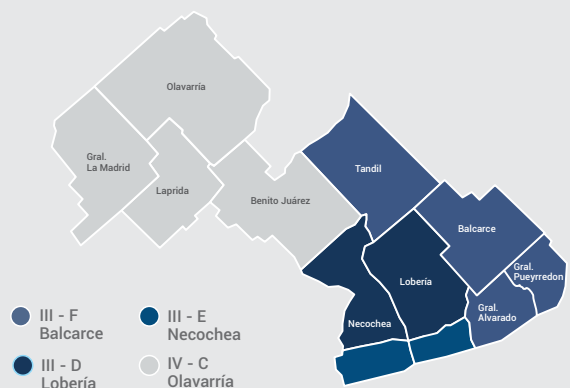
GANA
DERIA
VERDEOS
RODEOS

13

GANA
DERIA
TASAS
PASTURAS

14

La Estación Experimental Agropecuaria Balcarce abarca una superficie de 4,2 millones de hectáreas que comprende 10 partidos de la provincia de Buenos Aires. Se agrupa en áreas geográficas con cierto grado de homogeneidad en cuanto a suelo y clima, pudiéndose diferenciar zonas agroecológicas homogéneas. La zona III se ubica en el **sudeste** de la EEA Balcarce y la zona IV en el **centro - oeste** de la EEA Balcarce.





TEMPERATURA

41,3°C | MÁXIMA registrada Miramar

28,9°C | MÁXIMA MEDIA

20,9°C | MEDIA territorio

12,9°C | MÍNIMA MEDIA

3,0°C | MÍNIMA registrada Miramar

PRECIPITACIONES

Benito Juárez
427 mm



305
mm

209 mm
Gral. Pueyrredón

MEDIA ACUMULADA
OCT 2025 - ENE 2026

Enero 2025

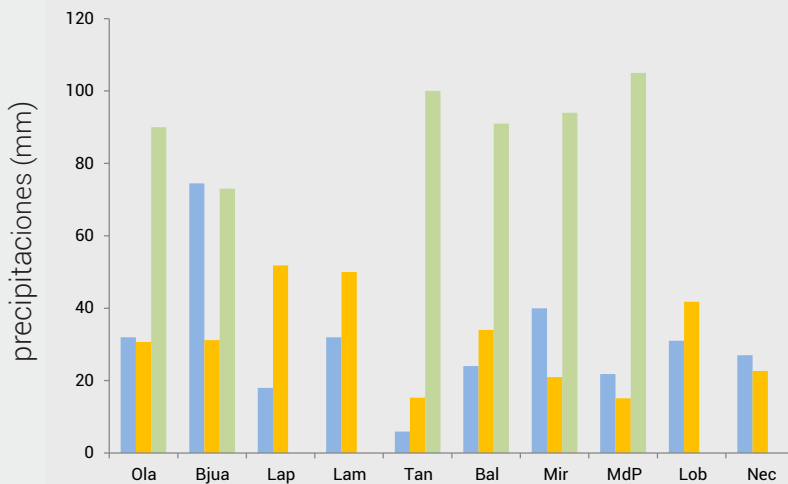
=



-62%
Históricos
(92 mm)

31
mm

MEDIA Enero



- 2026
- 2025
- Histórica

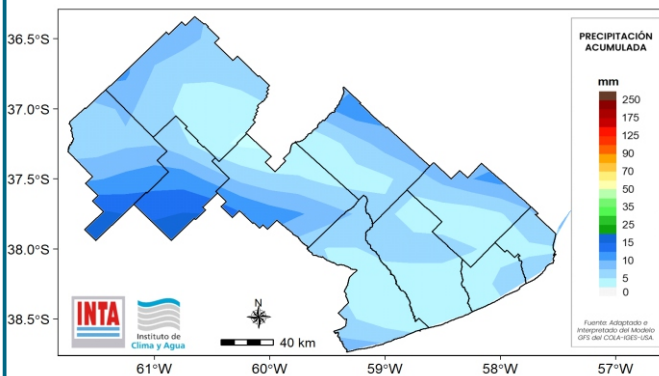
Precipitaciones (mm) registradas en estaciones meteorológicas y establecimientos productivos, en los partidos de Olavarría (Ola), Benito Juárez (BJua), Laprida (Lap), Gral. La Madrid (Lam), Tandil (Tan), Balcarce (Bal), Gral. Alvarado (Mir), Gral. Pueyrredón (MdP), Lobería (Lob) y Necochea (Nec) en el mes de enero del año 2026, 2025 e históricas. Las precipitaciones históricas corresponden a información del SMN para Ola (2013-2025), BJua (2010-2025), Tan (2013-2025), MdP (2010-2025), del INTA para Bal (2010-2025) y del MDA para Mir (1971-2025).



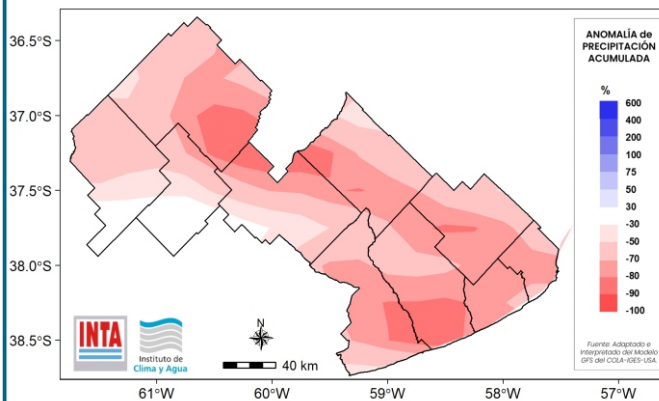
5 al 10 de febrero

Durante los próximos días se prevé el pasaje de dos sistemas de tormentas con probabilidad de lluvias y tormentas de variada intensidad. Habría descenso de las temperaturas con mínimas que podrían ser inferiores a los 10 °C. De todos modos, los acumulados esperados serían muy inferiores a los normales para esta semana.

Precipitación (mm)



Anomalia de precipitación (%)



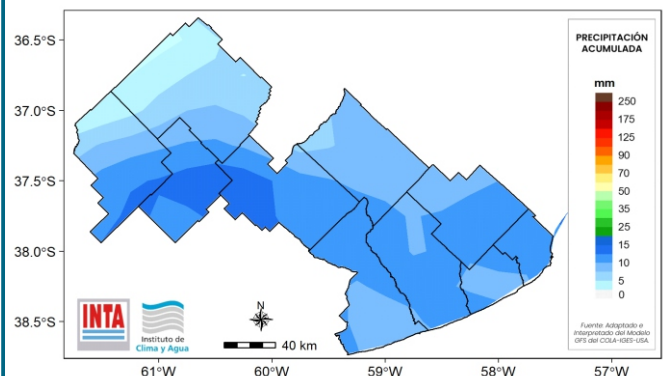
Nota: por anomalía de entiende al porcentaje entre el valor de lluvia pronosticado y el valor promedio histórico (1961-2010) de dicho periodo de pronóstico. Actualizado el día 04/02/2026.

11 al 16 de febrero

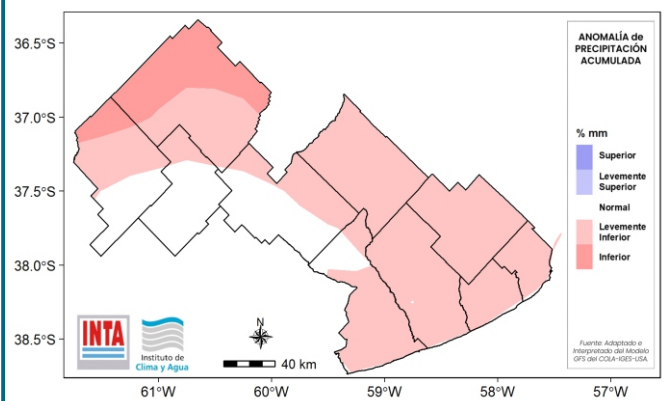
Para esta segunda semana, se prevé ambiente templado a algo fresco. Y hacia el fin de la semana se prevé el pasaje de un frente frío con probabilidad lluvias y tormentas de variada intensidad.

De este modo, los acumulados de lluvia de la semana serían entre normales a inferiores a los normales para la época sobre la mayor parte de la región.

Precipitación (mm)



Anomalia de precipitación (%)



Nota: por anomalía de entiende al porcentaje entre el valor de lluvia pronosticado y el valor promedio histórico (1961-2010) de dicho periodo de pronóstico. Actualizado el día 04/02/2026.



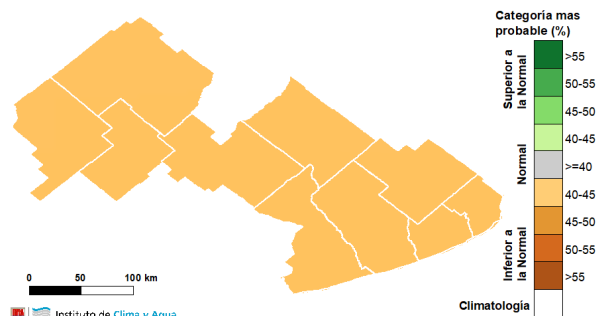
FEB > MAR > ABR

Se presentan mayores chances de transitar un trimestre con lluvias entre normales a deficitarias para la época. Según esta tendencia y los registros históricos de la región, los acumulados del trimestre podrían resultar inferiores a los 220 mm.

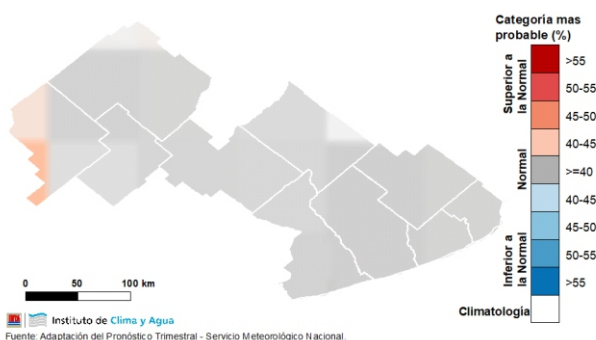
En cuanto a las temperaturas medias del trimestre, la tendencia climática le asigna una mayor probabilidad a que los valores sean normales para la época.

Se prevé sigan predominando fenómenos meteorológicos de menor escala por lo que variaciones tanto espacial como temporal tenderían a favorecerse a lo largo del trimestre, en especial durante el mes de febrero.

Precipitación



Temperatura



La actualización del pronóstico climático se realiza por consenso entre el Servicio Meteorológico Nacional (SMN) e Instituciones Nacionales (incluida el INTA).

Actualizado el día 31/01/2026.

Laboratorio de Agrometeorología

Área de investigación en Agronomía
Estación Experimental Agropecuaria
INTA Balcarce

Unidad Integrada Balcarce (INTA Balcarce-
Facultad de Ciencias Agrarias, UNMdP)

Instituto de Innovación para la Producción
Agropecuaria y el Desarrollo Sostenible
(INTA-CONICET)

Ruta Nac. 226 km. 73,5. Balcarce, Buenos
Aires, Argentina.

✉ eeabalcarce.agromet@inta.gov.ar

✂ agromet_inta.balcarce

📷 @agrometbalcarce

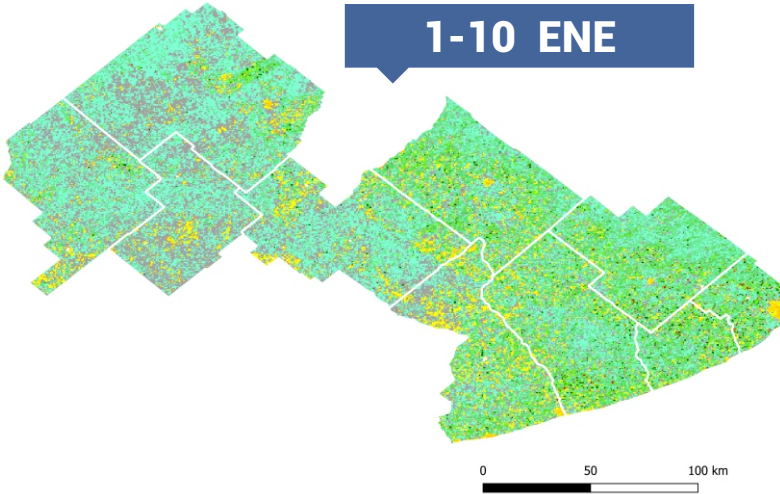


UNIVERSIDAD NACIONAL
de MAR DEL PLATA
FACULTAD de CIENCIAS AGRARIAS

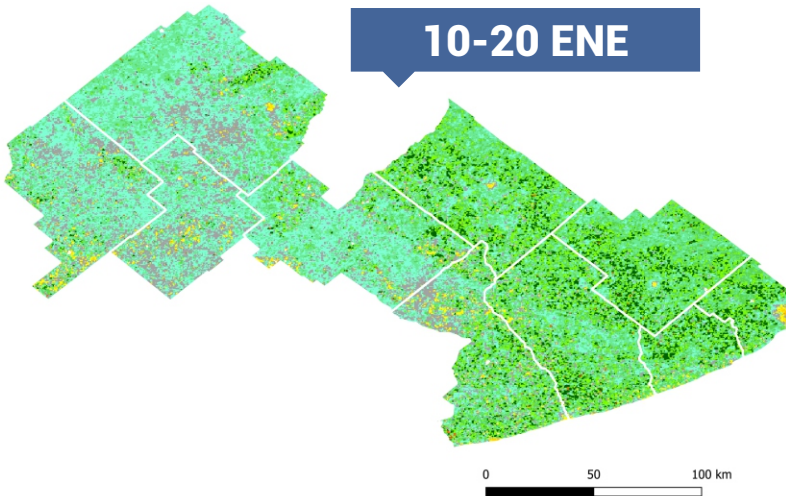
I P A D S



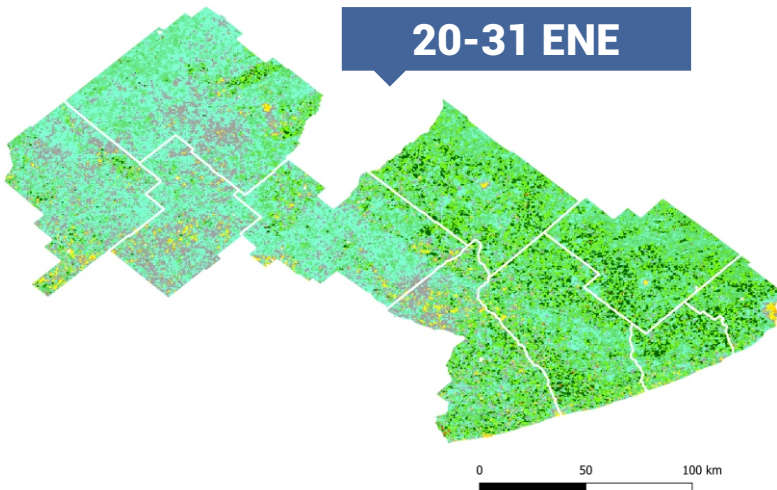
1-10 ENE



10-20 ENE



20-31 ENE



El consumo de agua o evapotranspiración real (ETR) es la cantidad de agua que es transpirada por la cubierta vegetal y aquella que es perdida desde la superficie del suelo por evaporación.

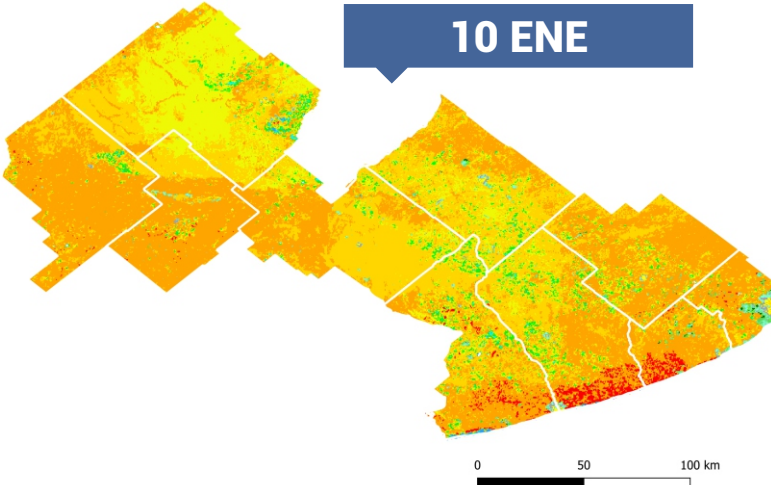
El consumo de agua puede ser utilizado para detectar la ocurrencia de deficiencias de agua, cuando su valor no alcanza el requerido por el cultivo.



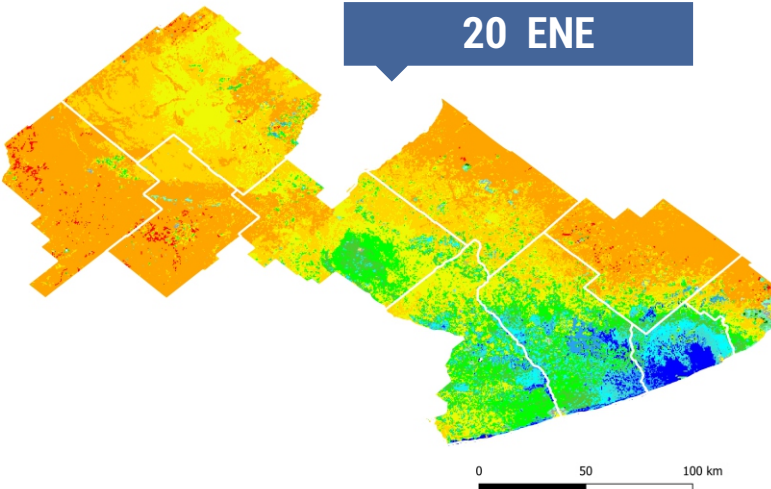
Evapotranspiración real máxima (en el periodo de 10 días) expresada en mm/día estimada mediante el uso de imágenes del sensor VIIRS del satélite Suomi-NPP con una resolución espacial de 500 metros. Elaborado por Instituto de Clima y Agua, INTA Castelar. Recorte: Patricio Oricchio.



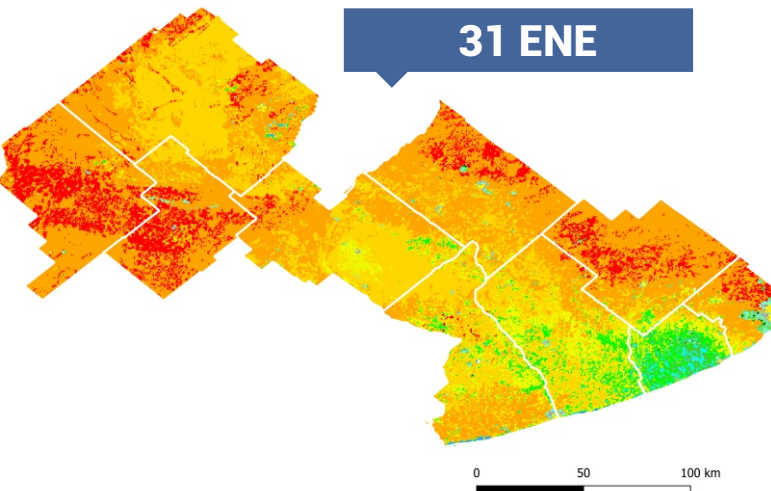
10 ENE



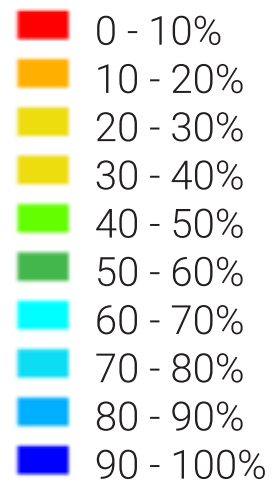
20 ENE



31 ENE



El porcentaje de agua útil en el suelo (es decir, aquella porción de agua que puede ser extraída por las plantas) puede ser estimado a través de un balance de agua; donde se considera información del suelo, el aporte de agua por lluvias y el consumo de agua de la cubierta vegetal (sección anterior).

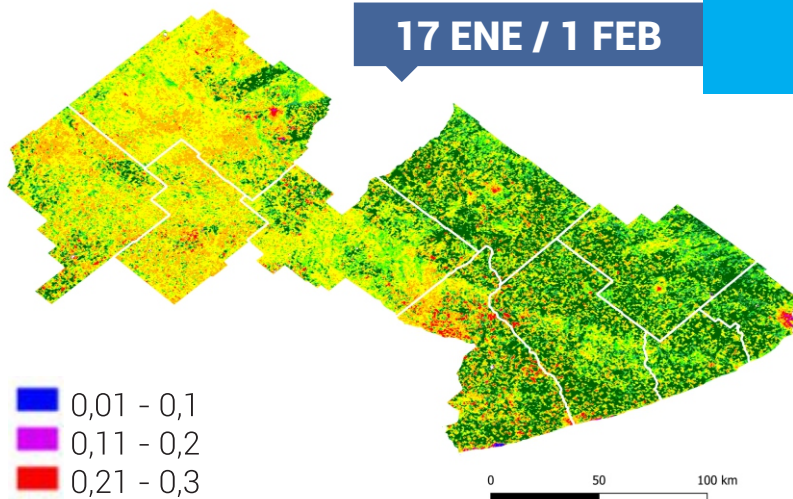


Porcentaje de agua en el suelo en enero de 2026. Resolución espacial: 500 m. Mapa elaborado por Instituto de Clima y Agua, INTA Castelar. Recorte: Lucas Gusmerotti. Consulta más imágenes de agua en el suelo [aquí](#).



17 ENE / 1 FEB

Mapa IVN 16 días



- 0,01 - 0,1
- 0,11 - 0,2
- 0,21 - 0,3
- 0,31 - 0,4
- 0,41 - 0,5
- 0,51 - 0,6
- 0,61 - 0,7
- mayor 0,7

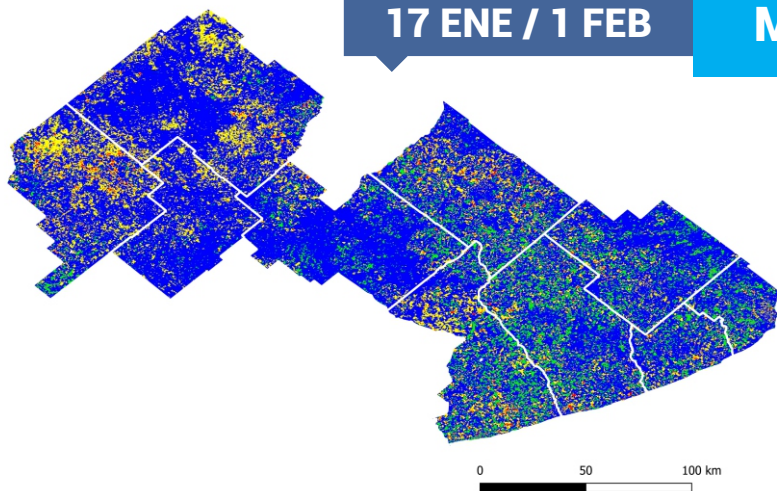
El Índice de Vegetación Normalizado (IVN), conocido como índice verde, es calculado con información captada por sensores remotos, y se asocia a la fracción de la radiación solar que es absorbida por las plantas.

Generalmente, los valores entre 0,2 y 0,4 corresponden a áreas con vegetación escasa; entre 0,4 y 0,6 a vegetación moderada y por encima de 0,6 a una mayor densidad de hojas verdes.

Índice de Vegetación Normalizado calculado tomando los valores máximos para una composición de imágenes correspondientes a 16 días utilizando el sensor MODIS de los satélites AQUA-TERRA con una resolución espacial de 6,25 hectáreas (250 m). Elaborado por Instituto de Clima y Agua, INTA Castelar. Recorte: Patricio Oricchio.

17 ENE / 1 FEB

Mapa Anomalía Histórica



- Superior a la media
- Superior al promedio e inferior al máximo
- Igual al promedio
- Inferior al promedio y superior al mínimo
- Inferior al mínimo

El mapa de anomalía histórica permite analizar si el índice verde aumentó, decreció o permaneció estable en un período de tiempo que comprende la imagen de cada 16 días actual y la imagen del mismo período promedio de la serie 2000 - 2024.

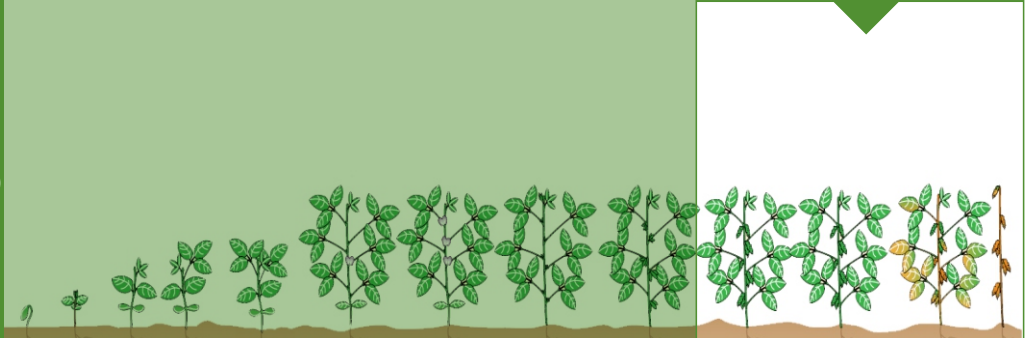
Anomalía histórica cada 16 días calculada utilizando imágenes del sensor MODIS de los satélites AQUA-TERRA con una resolución espacial de 6,25 hectáreas (250 m). Elaborado por Instituto de Clima y Agua, INTA Castelar. Recorte: Patricio Oricchio. Consulta más imágenes [aquí](#).



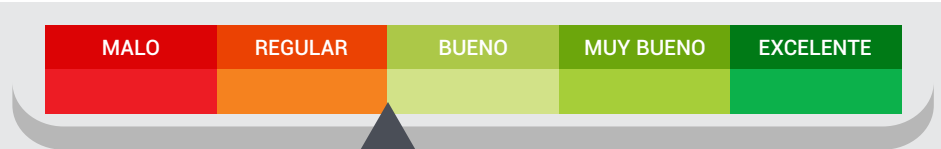
SOJA

Estado de desarrollo

Soja de primera: V4 - R4
(4° nudo - vainas desarrolladas)
Soja de segunda: Vc - V5
(cotiledón - 4° nudo)



Situación general



Evolución del cultivo

La soja de primera ha evolucionado en forma variable en función a los ambientes y a las precipitaciones recibidas, las cuales fueron escasas y muy irregulares en toda la región durante enero. Las condiciones de baja humedad no permitieron que se manifiesten las enfermedades. En soja de segunda la emergencia de plantas ha sido muy despareja por la falta de precipitaciones y humedad del suelo. La presencia de malezas es leve, principalmente emergencia del cultivo antecesor (trigo y cebada). En general los lotes se encuentran en peor condición en el centro – oeste, que en el sudeste de la región.





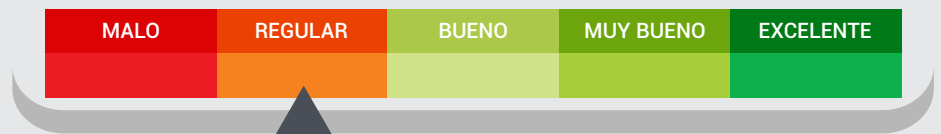
MAÍZ

Estado de desarrollo

Escala Ritchie y Hanway:
Tempranos y tardíos: VT - R4
(panojamiento - grano pastoso).
Segunda: Ve - V6
(emergencia - 6 hojas
expandidas).



Situación general



Evolución del cultivo

El cultivo estuvo condicionado por la ocurrencia de precipitaciones escasas e irregulares durante el período crítico en maíces de siembra temprana. Los maíces tardíos que se encontraban en R1-R2 mostraron un estado regular, con posibilidades de recuperación si se normalizan las lluvias, mientras que los maíces de segunda, en estadios vegetativos, presentaban un estado regular y mayor vulnerabilidad. En términos sanitarios, la presión de malezas fue baja y no se registraron enfermedades de relevancia, salvo la presencia de roya del maíz en baja severidad. En general, la evolución del cultivo está estrechamente ligada al agua acumulada en el perfil los primeros meses de crecimiento, definiendo contrastes notorios en el potencial productivo según la disponibilidad hídrica de cada lote.

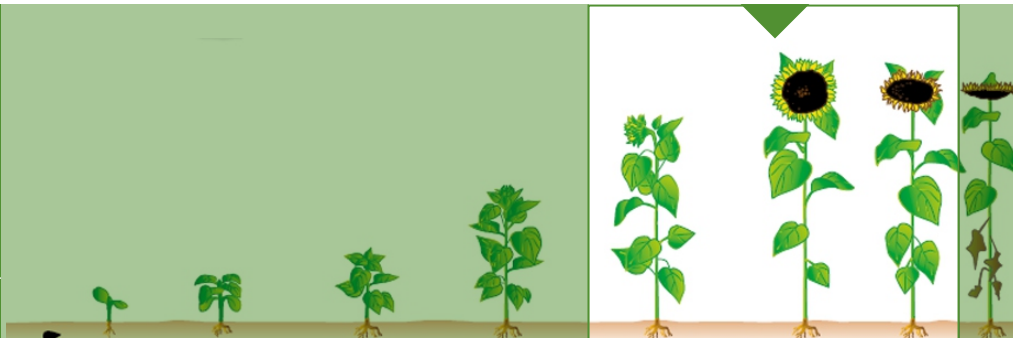




GIRASOL

Estado de desarrollo

Escala Schneiter y Miller: R2 - R7 (entrenado se elonga desde 0,5 a 2 cm por encima de la última hoja verdadera - la antesis es completa y las flores liguladas se marchitan).



Situación general



Evolución del cultivo

El desempeño del cultivo estuvo fuertemente determinado por la humedad acumulada en el perfil durante las etapas iniciales. En enero atravesó el período crítico en toda la región condicionado por la limitada disponibilidad de agua, con marcadas diferencias según el ambiente de cada lote y las precipitaciones registradas, en línea con lo observado en otros cultivos estivales. Si bien los controles de malezas fueron adecuados y no se registraron plagas ni enfermedades de relevancia, se observa una merma considerable en el potencial de rendimiento como consecuencia del estrés hídrico atravesado en el período crítico.





PANORAMA SANITARIO

Panorama sanitario de cultivos marzo 2025

Montoya, M.R.A.¹

¹Grupo Patología Vegetal, IPADS Balcarce (INTA Balcarce – CONICET),

Enero de 2026 ha registrado menos de 24 mm de lluvias, casi 80 mm menos del esperado para este mes, sumado a varios días de temperaturas elevadas. Esto, en términos generales, resulta desfavorable para el inicio y/o aumento de la mayoría de las enfermedades. En consecuencia, el panorama sanitario en los principales cultivos de verano en el sudeste bonaerense no ha presentado problemas significativos. No obstante, algunas enfermedades bien conocidas de soja y girasol han podido observarse en bajas severidad o incidencia, las cuales infectaron a las plantas en estadios vegetativos iniciales, con condiciones más adecuadas. En sojas de 1^a en Balcarce (en promedio en R2-R4) se pueden observar bajos niveles de bacteriosis por *Pseudomonas* sp. y *Curtobacterium* sp (Foto 1), que quedaron relegados a los estratos inferiores. Días sucesivos con estrés térmico/hídrico durante la campaña han dado lugar a la marchitez por *Fusarium*, causando muerte de plántulas (Foto 2) y marchitez en plantas en estadios R_n. En girasoles de diferentes híbridos sembrados en la zona de Balcarce (en promedio en estadio R5) las enfermedades prevalentes observadas al inicio de cada campaña han sido la roya blanca (*Pustula helianthicola*), el escudo negro por *Phoma* y marchitez por *Verticillium* (Foto 3). En forma aislada se han observado plantas con *Sclerotinia* de base (Foto 4), cancro del tallo por *Diaporthe helianthi* (Foto 5) y mildiu (*Plasmopara halstedii*, Foto 6).

Ante la duda, recordar la importancia de un diagnóstico correcto en los lotes. Eso determinará el tipo de inóculo que puede persistir en ese sitio y las eventuales medidas de manejo sanitario de cultivos posteriores en el corto, mediano y largo plazo. Ante cualquier duda, comunicarse con un laboratorio de Patología Vegetal en su área de influencia y/o con el Servicio de Diagnóstico de Fitoenfermedades de la EEA INTA Balcarce (eeabalcarce.lpatveg@inta.gob.ar o montoya.marina@inta.gob.ar).



Foto 1



Foto 4



Foto 2



Foto 5



Foto 3



Foto 6

Foto 1. Planta de soja con bacteriosis causada por *Curtobacterium* sp. Foto 2. *Fusarium* sp causando muerte temprana de plántulas de soja. Foto 3. Síntomas foliares de abigarrado por *Verticillium* en girasol. Foto 4. Planta de girasol marchita por infección de *Sclerotinia* en la base del tallo. Foto 5. Cancro del tallo en girasol por *Diaporthe helianthi*. Foto 6. Planta de girasol afectada por mildiu (*Plasmopara halstedii*).



PASTIZALES NATURALES



Estado general



Productividad

300 - 750 kg/ha

Durante enero el crecimiento de los pastizales disminuyó debido a la falta de precipitaciones ocurridas en toda la zona. En general no se observaron situaciones de sobrepastoreo. Los pastizales se encontraban con acumulación de forraje de la primavera, seco y de baja calidad para el consumo del ganado.

PASTURAS PERENNES



Estado general



Durante el mes de enero las pasturas perennes fueron perjudicadas en su crecimiento por el incremento de las temperaturas y las bajas precipitaciones ocurridas al igual que los pastizales. El aprovechamiento se realizó en el forraje acumulado durante la primavera, en muchos casos con una gran pérdida de calidad que impactó en las ganancias de peso diario de las recrias. Ver productividad en la sección **tasas de crecimiento**.



VERDEOS Y RESERVAS FORRAJERAS



Estado general

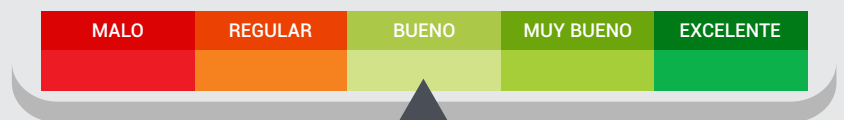


En enero continuó el aprovechamiento de maíces y sorgos para pastoreo. Los rebrotes fueron limitados debido a la falta de precipitaciones ocurridas en la mayor parte de la región. También se realizaron rollos en lotes de pasturas con el excedente de primavera para utilizar como reserva forrajera en los próximos meses.

RODEOS DE CRÍA



Estado general



En los rodeos de cría finalizó el servicio y los establecimientos se encuentran planificando el calendario sanitario, manejo y destino de los terneros. Las altas temperaturas durante el mes han generado problemas en los rodeos y mortandad asociados a golpes de calor, falta de agua disponible para el consumo animal e intoxicaciones con hongos asociados a las semillas de los pastos.



TASAS DE PASTURAS

ENERO
1 al 31

CRECIMIENTO

(kg MS/ha/día)*

Valores orientativos en base a condiciones de suelo y tiempo promedio de cada partido

- ALFALFA -

- FESTUCA -



Compare la tasa diaria del mapa con lo que puede comer un animal por día

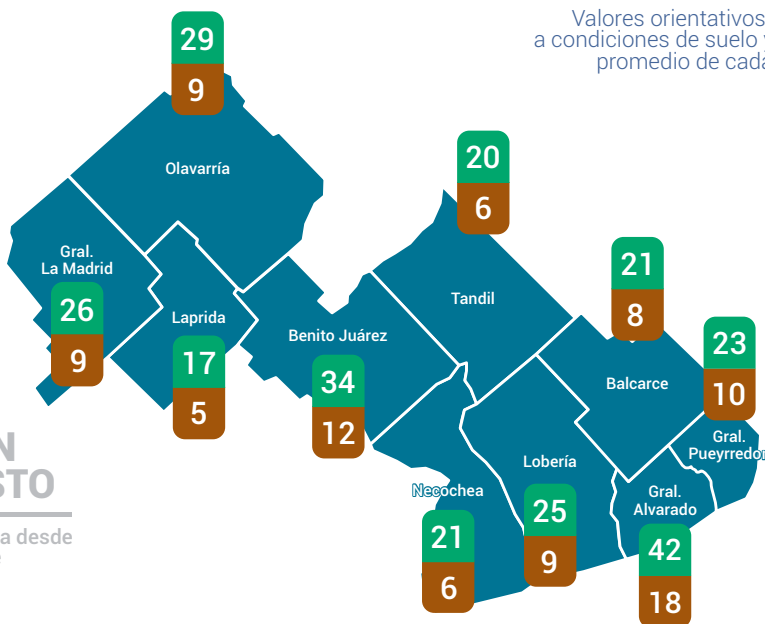
- | | |
|---------------------|---------|
| Vaca cría parida | > 10-12 |
| Vaca cría seca | > 8-10 |
| Ternero de recría | > 7-8 |
| Novillo | > 9-12 |
| Vaca lechera ordeño | > 10-14 |
| Vaca lechera seca | > 10-12 |

kg MS/día

► Para obtener la tasa de sus pasturas y verdes, consulte a su profesional de confianza

GESTIÓN DEL PASTO

Descargala desde Play Store



FEBRERO
1 al 28

PRONÓSTICO

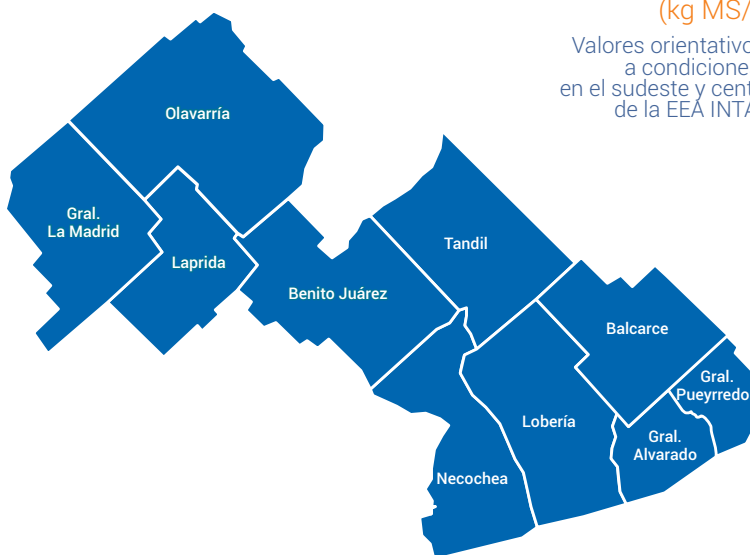
(kg MS/ha/día)*

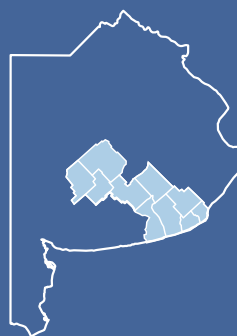
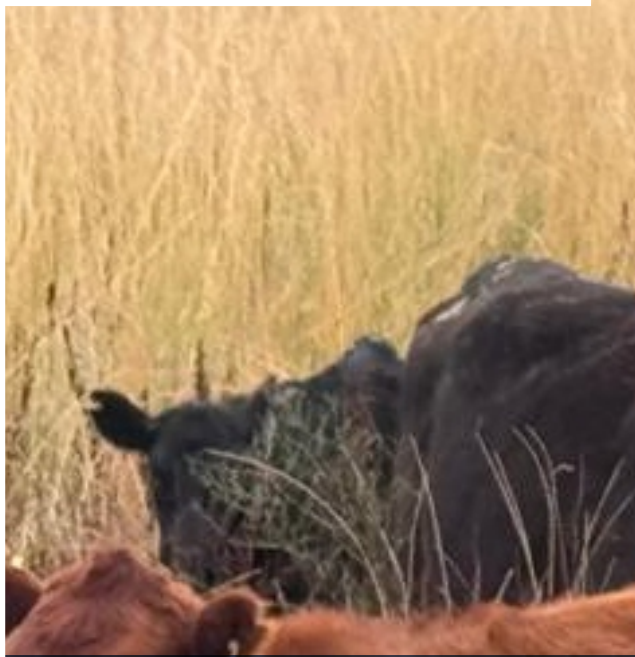
Valores orientativos en base a condiciones de suelo en el sudeste y centro - oeste de la EEA INTA Balcarce

Alfalfa: 30-25

Festuca: 20-10

Las tasas mas altas fueron estimadas en función al agua en el suelo de inicio de febrero (INTA) y clima proyectado promedio histórico. Las tasas mas bajas fueron estimadas con agua en el suelo a inicio de febrero y clima proyectado por el SMN (temperatura similar al promedio histórico y lluvias menores al promedio).





ENERO 2026

Informe mensual agropecuario

INTA Balcarce y su área de influencia



iturraldeelortegui.m@inta.gov.ar

RRSS INTA Balcarce



Agrometeorología INTA Balcarce



Sitios de interés

Conocé SEPA

Zonas agroecológicas homogéneas del INTA Balcarce

Sistema de información y gestión agrometeorológica

Actualización del algoritmo de estimación de la evapotranspiración real para el sensor VIIRS-Suomi NPP

Estimar el crecimiento de alfalfa, festuca y raigrás anual

Autores

Rosario Iturralde Elortegui (AER INTA Olavarría)
Kevin Leaden (AER INTA Laprida)
Lía Oyesqui (AER INTA Olavarría)
Nuria Lewczuk (EEA INTA Balcarce)
Laura Echarte (EEA INTA Balcarce)
Marina Montoya (Gpo. San. Veg. EEA INTA Balcarce)
Juan Erreguerena (AER INTA Necochea)
María Clara Llorens (CE Miramar MDA)

Diseño gráfico: Federico Miri (EEA INTA Balcarce)

Fotografía: Rosario Iturralde - Kevin Leaden - Lía Oyesqui - Paulo Recavarren

Colaboraron

Patricio Oricchio (INTA, ICyA)
Lucas Gusmerotti (INTA, ICyA)
Natalia Gattinoni (INTA, ICyA)
Vanesa Ramis (INTA, ICyA)
Aimé Espindola (INTA, ICyA)
Germán Berone (EEA NTA Balcarce)
Germán Cantón (EEA INTA Balcarce)
Verónica Iriarte (AER INTA Gral. La Madrid)
Claudia Ischia (AER INTA Benito Juárez)
Beatriz Pascal (AER INTA Lobería)
Carolina Troglia (AER INTA Balcarce)
Productores, profesionales y extensionistas de la EEA INTA Balcarce
Ministerio de desarrollo Agrario de la Provincia de Buenos Aires



Secretaría de Agricultura, Ganadería y Pesca